

แบบจำลองทางคณิตศาสตร์จากโครงสร้างระดับโมเลกุลของยางคงรูปขณะรับแรงดึง¹ A mathematical model based on molecular structure of vulcanized rubber under tensile tests

นายเชาวลักษณ์ เถาหมอก* และ ดร.รัชดา โสภาคะยัง

วิศวกรรมเครื่องกล มหาวิทยาลัยอุบลราชธานี ตำบลเมืองศรีโค อำเภอวารินชำราบ จังหวัดอุบลราชธานี 34190

*ติดต่อ: E-mail chaowalukt@pwa.co.th, เบอร์โทรศัพท์ 088-5806484

บทคัดย่อ

งานวิจัยนี้เป็นการสร้างแบบจำลองทางคณิตศาสตร์จากโครงสร้างระดับโมเลกุลของยางคงรูปขณะรับแรงดึง โดยมีสมมุติฐานว่ายางคงรูปประกอบด้วยโซ่โมเลกุล 2 แบบ คือ แบบพันธะทางกายภาพและแบบพันธะเคมี ซึ่งในช่วงเริ่มต้นของการรับแรงดึงโซ่โมเลกุลแบบพันธะทางกายภาพจะมีบทบาทสำคัญในการรับแรงทั้งหมด เมื่อเข้าสู่ช่วงครากโซ่โมเลกุลแบบพันธะทางกายภาพจะค่อยๆ หลุดขาด จึงส่งผลให้ค่าโมดูลัสของยางมีค่าลดลงและเมื่อเข้าสู่ช่วงชำรุดเด่นนิ่ง โซ่โมเลกุลแบบพันธะเคมีจะมีบทบาทสำคัญในการรับแรงจึงส่งผลให้ค่าโมดูลัสของยางมีค่าเพิ่มขึ้น ซึ่งค่าตัวแปรในสมการทางคณิตศาสตร์ของโมเดลหาได้จากการเบี่ยงวิธีการประมาณค่าที่สมมูลกันของโมเดลกับข้อมูลที่ได้จากการทดลอง โดยโมเดลนี้สามารถแสดงพฤติกรรมเชิงกลของยางคงรูปได้ดีในทุกช่วงความเครียดขณะรับแรงดึง

คำหลัก: แบบจำลองทางคณิตศาสตร์, การยืดหยุ่นแบบไม่เชิงเส้น, ไฮเปอร์อิลัสติก, ยางคงรูป

Abstract

The aim of this research is to formulate a mathematical model based on molecular structure of vulcanized rubber under tensile tests. In general, the linkage of polymer chains in rubber can be classified as two different linkages: physical links and chemical links. In the first region of the tensile behavior, all physical links are assumed to be active before they gradually fail. In the yield region, the physical links are still failing while the chemical links are assumed to gradually become active. In the hardening region, only chemical linkage is assumed to play an important role on the tensile behavior, so the chemical links are progressively active in this region. In conclusion, the parameters in model are determined by curve fitting the model with the experimental data. It can be shown that the model can characterize the tensile behavior of vulcanized rubber very well in every region.

Keywords: Mathematical model, tensile non-linear, Hyperelasticity, Vulcanized Rubber.

1. บทนำ

ปัจจุบันการแข่งขันทางด้านธุรกิจอุตสาหกรรมเพิ่มสูงขึ้น การพัฒนาวัสดุวิศวกรรมเพื่อให้ได้วัสดุที่เหมาะสมและคุ้มค่าต่อการใช้งานก็เป็นส่วนสำคัญที่จะ

ทำให้อุตสาหกรรมสามารถพัฒนาขึ้น วัสดุที่มีความสำคัญต่องานทางด้านวิศวกรรมประเภทหนึ่ง คือ ยางคงรูป การผลิตยางคงรูปเพื่อให้มีคุณสมบัติเชิงกลที่เหมาะสมต่อการใช้งานทางวิศวกรรมนั้นต้อง

สิ้นเปลืองค่าใช้จ่ายและเวลาในการลองผิดลองถูกสูงมาก เนื่องจากยางพาราในปัจจุบันมีราคาแพง แต่ถ้าเรารสามารถสร้างแบบจำลองทางคณิตศาสตร์ที่สามารถอธิบายและคาดคะเนพฤติกรรมการรับภาระแรงของยางได้ จะเป็นการลดค่าใช้จ่ายในการลองผิดลองถูกเพื่อผลิตผลิตภัณฑ์ยางได้ อีกทั้งยังสามารถพัฒนาผลิตภัณฑ์ยางให้มีคุณสมบัติเชิงกลให้ดีขึ้นได้อีกด้วย

จากการวิจัยที่ผ่านมาแบบจำลองทางคณิตศาสตร์ที่ใช้อธิบายพฤติกรรมเชิงกลของยางคงรูปเป็นแบบจำลองที่อธิบายพฤติกรรมเชิงกลของยาง (Phenomenological Model) ซึ่งตัวแปรภายในแบบจำลองไม่มีความหมายทางกายภาพที่สัมพันธ์กับโครงสร้างภายในของยาง เช่น แบบจำลองอีอกเดน (Ogden Model) และมูลนีริฟลิน (Mooney-Rivlin Model) เป็นต้น [6] ในงานวิจัยนี้จึงมุ่งเน้นที่จะสร้างแบบจำลองทางคณิตศาสตร์ซึ่งตัวแปรภายในแบบจำลองมีความสัมพันธ์กับลักษณะทางกายภาพของโครงสร้างภายในยาง (Structural Model) ที่สามารถอธิบายการเปลี่ยนแปลงของโครงสร้างภายในที่สำคัญของยางคงรูปขณะรับแรงดึงได้ โดยใช้แนวคิดจากการวิจัยเรื่อง Elastic and viscoelastic properties of a type I collagen fiber [3] ซึ่งเป็นการจำลองการเปลี่ยนแปลงภายในของโครงสร้างภายในของวัสดุขณะรับแรงแบบคลายความเค้น (Relaxation) เพื่ออธิบายคุณสมบัติวิสโคอิเลاستิกและอิเลاستิกของคอลลาเจนไฟเบอร์

2. ทฤษฎีที่เกี่ยวข้อง

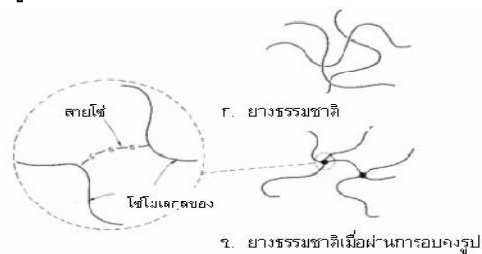
จากการศึกษาที่ผ่านมาพบว่ายางก่อนผ่านการอบคงรูป จะแสดงพฤติกรรมเชิงกลเหมือนกับวัสดุวิสโคอิเลاستิก ในขณะที่ยางหลังอบคงรูปจะแสดงความเป็นวิสโคอิเลاستิกน้อยลง จนบางครั้งในงานวิจัยหลาย ๆ งานได้สร้างแบบจำลองทางคณิตศาสตร์โดยสมมุติให้ยางคงรูปมีคุณสมบัติทางกลแบบไอยเปอร์อิเลاستิก

2.1 โครงสร้างและส่วนผสมสารเคมีที่มีผลต่อสมบัติของยางคงรูป

เนื่องจากยางดิบ (Natural Rubber) ที่เราได้มาจากการยางพารามีสมบัติไม่เหมาะสมที่จะนำไปใช้งาน โดยตรง จึงจำเป็นที่ต้องมีกระบวนการปรับปรุงคุณสมบัติโดยการผสมยางดิบกับสารเคมีต่างๆ เพื่อให้ยางมีคุณสมบัติที่เหมาะสมกับการใช้งานต่างๆ ตามที่ต้องการ สารตัวเดิม (Filler) เป็นสารที่ใช้ผสมกับยางดิบเพื่อช่วยเสริมแรง (Reinforcement) เช่น เพิ่มความต้านทานแรงดึง เพิ่มความทนต่อการสึกกร่อน ดังนั้นโครงสร้างทางเคมีจึงมีบทบาทต่อความแข็งแรงและความยืดหยุ่นของยางคงรูป ดังนี้

2.1.1 การทำให้ยางคงรูป (Vulcanization)

กระบวนการการทำให้ยางคงรูปโดยใช้กำมะถันเติมลงไปในยางดิบนั้น กำมะถันจะทำหน้าที่เป็นตัวยึดจับระหว่างห่วงโซ่โมเลกุลของยางและการเติมกำมะถัน เป็นกระบวนการหลังจากการบดผสมยางกับสารเคมีก่อนนำยางไปอบคงรูป กำมะถันจะส่งผลให้ห่วงโซ่โมเลกุลของยางเกิดจุดเชื่อมต่อ ทำให้ยางมีความแข็งแรงขึ้น ทันทันต่ocommunity ความร้อนและการสึกกร่อน ซึ่งการจับยึดโดยโมเลกุลอธิบายได้ดังรูปที่ 1 กำมะถันจะใช้รวมกับสารตัวกระตุ้น (Activator) และสารตัวเร่ง (Accelerator) ตัวกระตุ้นที่ใช้ทั่วไปคือ ซิงค์ออกไซด์ และกรดสเตียรอยด์ ซึ่งทำหน้าที่เพิ่มจำนวนพันธะเคมีทำให้ยางมีความแข็งแรงขึ้น สารตัวเร่งจะช่วยเพิ่มอัตราความเร็วและประสิทธิภาพของปฏิกิริยากระบวนการยางคงรูป [5]

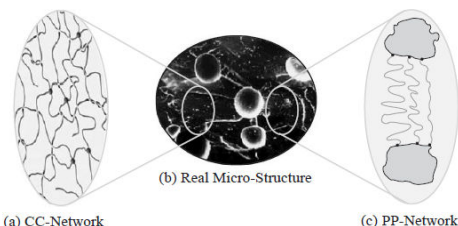


รูปที่ 1 การจับยึดของโซ่โมเลกุลกับอะตอมของกำมะถัน [5]

2.1.2 การเสริมแรงโดยการเติมผงคาร์บอนดำ

การเติมผงคาร์บอนดำระหว่างกระบวนการบดผสมยางนั้นจะมีผลทำให้ยางนั้นมีความแข็งแรงมากขึ้นและยังเป็นการเติมสีให้กับยางเราแบ่งผงคาร์บอนดำออกเป็น 3 ประเภทดังนี้ แลมป์ (Lamp) เป็นผง

การบอนด์ทำให้ยางมีสี ชาญ์แนล (Channel) เป็นผง ควรบอนด์ทำให้ยางขยายตัวมากขึ้นและเสริมแรงได้ บ้าง เฟอแนส (Furnace) เป็นผงการบอนด์ทำให้ยาง เสริมแรงได้มากที่สุด ผงการบอนด์ยังเป็นสารที่เติม เข้าไปให้แทรกตัวระหว่างโซ่โมเลกุลของโครงข่ายโพลิ เมอร์ โดยจะต้องเดี่ยวของสารบอนด์ที่เติมเข้าไปจะอยู่ ในช่องว่างของโครงข่ายทำให้คุณสมบัติของยางเปลี่ยนไป สิ่งแรกที่สังเกตได้คือความแข็งของยาง และเวลาการอบคงรูปปัจจัยสำคัญในการเสริมแรงของผง การบอนด์ คือ การเกาะกันของอนุภาคผงการบอนด์ และความขนาดของผงการบอนด์ ผงการบอนด์ที่มีอนุภาคเกาะกันแน่นมากจะทำให้ยางเพิ่มการต้านทานต่อการขยายตัวของรอยฉีกขาด และเพิ่มความต้านทานการล้าถ้า [5]



รูปที่ 2 ภาพถ่าย SEM (Scanning Electron Microscope) ของยางเติมสารบอนด์ 20 phr [1]

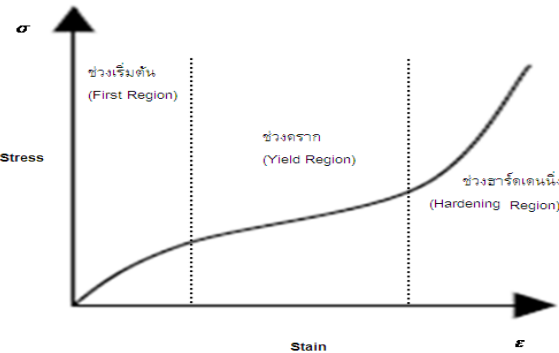
2.2 สมบัติไฮเปอร์อิลาสติกขณะรับแรงดึง (Hyperelastic Properties)

พฤติกรรมของยางคงรูปขณะรับแรงดึงนั้น ความเค้นและความเครียดที่เกิดขึ้นเมื่อได้รับภาระจะมีความสัมพันธ์ในลักษณะไม่เป็นเชิงเส้น (Nonlinearity Relation) ซึ่งแตกต่างจากวัสดุประเภทโลหะที่ไป

กรรมวิธีการผลิตยางคงรูปมีการเติมส่วนประกอบสารเคมีเข้าไปเพื่อให้คุณสมบัติมีความทนทานมากขึ้น พฤติกรรมของยางจึงเปลี่ยนไปตามสารประกอบที่เติมเข้าไป

งานวิจัยนี้ได้ศึกษายางที่ผ่านกระบวนการทำให้ยางคงรูป (Vulcanization) ซึ่งจะมีผลทำให้คุณสมบัติต่างๆ ของยางเปลี่ยนไป ค่าโมดูลสความยืดหยุ่นของยาง และการยืดตัวจะไม่เป็นสัดส่วนโดยตรงกับภาระที่ได้รับ เรียกว่า พฤติกรรมแบบไม่เป็นเชิงเส้น

(Nonlinear Behavior) ซึ่งเราสามารถแบ่งลักษณะการแสดงพฤติกรรมเชิงกลของยางขณะรับแรงดึงได้เป็น 3 ช่วง คือ ช่วงเริ่มต้น (First region) ช่วงคราก (Yield region) และช่วงฮาร์ดเดนนิ่ง (Hardening region) ดังแสดงในรูปที่ 3



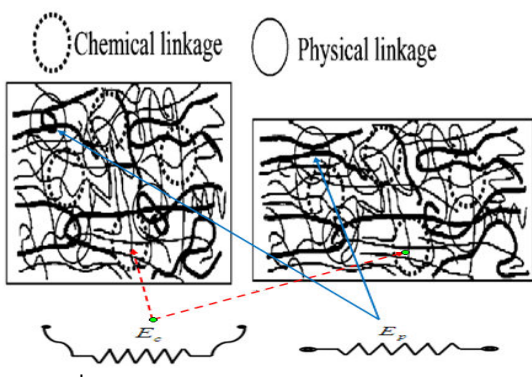
รูปที่ 3 พฤติกรรมแบบไม่เป็นเชิงเส้นของยาง

3. การสร้างแบบจำลองทางคณิตศาสตร์

จากการศึกษาส่วนประกอบสำคัญของโครงสร้างภายในของยางคงรูป คือ โซ่โมเลกุลของยางซึ่งมีการเชื่อมต่อกันด้วยพันธะเคมีเป็นโครงร่างตาข่าย (Cross links) โดยการเชื่อมต่อกันของโซ่โมเลกุลนี้สามารถแบ่งออกได้เป็น การเชื่อมต่อกันทางกายภาพ (Physical linkage) และพันธะเคมี (Chemical linkage) [4] ดังนั้นงานวิจัยนี้จึงสร้างแบบจำลองทางคณิตศาสตร์ภายใต้สมมุติฐานที่ว่า ในช่วงเริ่มต้นของพฤติกรรมการรับแรงดึงนั้น ทั้งห่วงโซ่โมเลกุลที่เชื่อมต่อกันทางกายภาพหักหมดและพันธะเคมีบางส่วนมีบทบาทสำคัญในการรับแรง เมื่อเข้าสู่ช่วงครากห่วงโซ่โมเลกุลที่เชื่อมต่อกันทางกายภาพจะเริ่มหลุดออกจากกัน จึงส่งผลให้ค่าโมดูลลัสของยางมีค่าลดลง และเมื่อเข้าสู่ช่วงฮาร์ดเดนนิ่งห่วงโซ่โมเลกุลที่เชื่อมต่อกันทางพันธะเคมีในส่วนที่ยังไม่รับแรงจะเริ่มรับแรงจึงส่งผลให้ค่าโมดูลลัสของยางมีค่าเพิ่มขึ้น

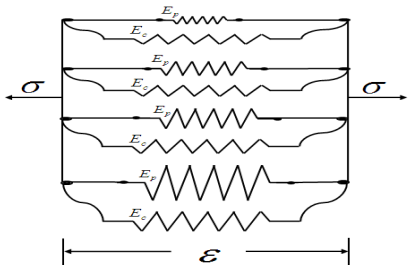
งานวิจัยนี้จึงได้สร้างแบบจำลองทางคณิตศาสตร์โดยเลียนแบบพฤติกรรมการเปลี่ยนแปลงการเชื่อมต่อของห้อง 2 แบบ ขณะรับแรงดึง ดังแสดงในรูปที่ 4 โดยการเชื่อมต่อกันทางกายภาพแทนด้วยหน่วยสปริง (Spring unit) ที่ต่อกันแบบขนานหลาย ๆ เส้นเหมือนโซ่โมเลกุลในโครงสร้างภายในยางคงรูป ซึ่งพฤติกรรม

การรับภาระแรงของสปริงแบบกายภาพนี้ จะรับแรงทั้งหมดขณะเริ่มดึงและค่อยๆ หลุดขาดออกจากกัน โดยใช้ทฤษฎีความเสียหายทางสถิติ และฟังก์ชันความหนาแน่นของความน่าจะเป็น (Probability density function) ของการหลุดขาดเป็นการแจกแจงความถี่แบบเอกซ์โพเนนเชียล (Exponential Distribution) ส่วนการเชื่อมต่อ กันแบบทางพันธุ์เคมี แทนด้วย สปริงหลาย ๆ ตัวเหมือนโซ่โมเลกุลในโครงสร้างภายในยางคงรูป เช่นกัน แต่สปริงแบบพันธุ์เคมีนี้จะมีพฤติกรรมการรับภาระแรงแตกต่างจากแบบทางกายภาพโดยสิ้นเชิง คือ สปริงแบบทางพันธุ์เคมีจะค่อยๆ รับแรงและจะไม่ขาดออกจากกัน เราจะให้ พฤติกรรมการค่อยๆ รับแรงของกลุ่มสปริงนี้โดยใช้ การแจกแจงความถี่ทางสถิติแบบไวบูล (Weibull Distribution)



รูปที่ 4 การออกแบบแบบจำลองโดยเลียนแบบ การเชื่อมต่อ กันภายในยางคงรูป [4]

จากการใช้สมมุติฐานดังกล่าว สามารถสร้างแผนภาพแบบจำลองทางคณิตศาสตร์โดยเลียนแบบ พฤติกรรมการรับภาระแรงของลักษณะการเชื่อมต่อ กันทั้งสองแบบของยางคงรูปขั้นตอนรับแรงดึงได้ดังแสดงในรูปที่ 5



รูปที่ 5 แผนภาพแบบจำลองทางคณิตศาสตร์ของ ยางคงรูปขั้นตอนรับแรงดึง

จากแผนภาพแบบจำลองนี้จะเห็นว่าสปริงของทั้ง 2 กลุ่มพันธุ์ต่อ กันแบบขานาน ทำให้ค่าความเครียด เท่ากันดังนี้

$$\varepsilon = \varepsilon_p = \varepsilon_c \quad (3-1)$$

โดย

ε คือ ความเครียดทั้งหมดของยางคงรูป

ε_p คือ ความเครียดของการเชื่อมต่อแบบทางกายภาพ

ε_c คือ ความเครียดของการเชื่อมต่อแบบพันธุ์เคมี

ความเด่นทั้งหมดจะเท่ากับความเค้นรวมทั้งหมดของสปริงทั้ง 2 กลุ่มพันธุ์รวมกัน ดังนี้

$$\sigma = \sigma_p + \sigma_c \quad (3-2)$$

โดย

σ คือ ความเค้นรวมทั้งหมดในยางคงรูป

σ_p คือ ความเค้นรวมทั้งหมดที่เกิดจากการเชื่อมกันแบบทางกายภาพ

σ_c คือ ความเค้นรวมทั้งหมดที่เกิดจากการเชื่อม กันแบบพันธุ์เคมี

ความเด่นภายในการเชื่อมต่อแบบทางกายภาพที่ประกอบด้วยโซ่โมเลกุลหลายเส้นพันกันซึ่งแทนด้วย สปริงหลาย ๆ ตัวเชื่อมต่อ กันแบบขานานนั้นเริ่มรับแรง (Active) พร้อมกันทั้งหมดทันทีที่ยางเริ่มรับแรงดึงแล้ว จึงค่อยๆ หลุดขาดออกจากกัน ตามฟังก์ชันความหนาแน่นของความน่าจะเป็น แบบเอกซ์โพเนนเชียล (Exponential Distribution) โดยสามารถเขียนสมการ อธิบายความสัมพันธ์ระหว่างความเค้น และ ความเครียดได้ดังนี้

$$\sigma_p = E_p \varepsilon_p \left[\int_0^{\infty} p(\varepsilon) d\varepsilon - \int_0^{\varepsilon_p} p(\varepsilon_b) d\varepsilon_b \right] \quad (3-3)$$

$$\sigma_p = E_p \varepsilon \left[\int_0^{\infty} p(\varepsilon) d\varepsilon - \int_0^{\varepsilon} p(\varepsilon_b) d\varepsilon_b \right] \quad (3-4)$$

โดย

E_p คือ ค่าโมดูลัสความยืดหยุ่นของพันธุ์ กายภาพ

ε_b คือ ความเครียดที่การเชื่อมต่อกันทาง
กายภาพหลุดขาดออกจากกัน

การแจกแจงความถี่ของการขาดออกของโซ่
โมเลกุลแบบทางกายภาพเป็นแบบเอกซ์โพเนนเชียล
(Exponential Distribution) สามารถเขียนได้ดังสมการ
ที่ (3-5)

$$p(\varepsilon_b) = \phi e^{-\phi \varepsilon_b} \quad (3-5)$$

โดยที่ $\phi > 0$ เมื่อ ϕ คือ ค่าแสดงความเร็วใน
การหลุดขาด

จากสมการที่ (3-4) และ (3-5) สามารถหาผล
เฉลยของสมการที่ (3-4) โดยการอินทิเกรตได้ดังนี้

$$\begin{aligned} \sigma_p &= E_p \varepsilon \left[\int_0^\infty p(\varepsilon) d\varepsilon - \int_0^{\varepsilon_b} p(\varepsilon_b) d\varepsilon_b \right] \\ \sigma_p &= E_p \varepsilon \left[\int_0^\infty \phi e^{-\phi \varepsilon} d\varepsilon - \int_0^{\varepsilon_b} \phi e^{-\phi \varepsilon_b} d\varepsilon_b \right] \\ \sigma_p &= E_p \varepsilon [(1) - (1 - e^{-\phi \varepsilon})] \end{aligned} \quad (3-6)$$

ส่วนพันธะเคมีจะอยู่ รับแรง (Active) ตาม
พังก์ชันความหนาแน่นน่าจะเป็น (Probability density
function) แบบไวบูล (Weibull Distribution) และไม่
ขาดออกจากกัน สามารถเขียนสมการอธิบาย
ความสัมพันธ์ระหว่างความเค้นและความเครียดได้
ดังนี้

$$\sigma_c = \int_0^{\varepsilon} E_c (\varepsilon - \varepsilon_c) p(\varepsilon_c) d\varepsilon_c \quad (3-7)$$

โดย

E_c คือ ค่าโมดูลัสมความยืดหยุ่นของพันธะเคมี
กำหนดให้ $p(\varepsilon_c)$ คือ พังก์ชันความหนาแน่น
น่าจะเป็น (Probability density function) ของการรีม
รับแรง (Active) ของพันธะเคมีที่ $\varepsilon_c \geq \varepsilon$ โดยใช้การ
แจกแจงความถี่ แบบไวบูล (Weibull Distribution)

$$p(\varepsilon_c) = \frac{\alpha}{\beta} \left(\frac{\varepsilon_c}{\beta} \right)^{\alpha-1} e^{-\left(\frac{\varepsilon_c}{\beta} \right)^\alpha} \quad (3-8)$$

เมื่อ α คือ ค่า Shape parameter โดย $\alpha > 0$

β คือ ค่า Scale parameter โดย $\beta > 0$

จากสมการที่ (3-7) และ (3-8) สามารถหาผล
เฉลยของสมการที่ (3-7) ได้ดังนี้

$$\sigma_c = E_c \left(\varepsilon - \frac{\beta}{\alpha} \gamma \left(\frac{1}{\alpha}, \left(\frac{\varepsilon}{\beta} \right)^\alpha \right) \right) \quad [2] \quad (3-9)$$

$$\text{โดย } \gamma \left(\frac{1}{\alpha}, \left(\frac{\varepsilon}{\beta} \right)^\alpha \right) = \int_0^{\left(\frac{\varepsilon}{\beta} \right)^\alpha} a^{\frac{1}{\alpha}-1} e^{-a} da \quad (3-10)$$

γ คือ Incomplete gamma function

เมื่อได้สมการความเค้นของการเชื่อมต่อกันทั้ง 2
แบบแล้วนั้น ก็นำสมการทั้งหมดที่ได้ไปแทนในสมการ
ที่ (3-2) $\sigma = \sigma_p + \sigma_c$ ก็จะได้สมการความสัมพันธ์
ระหว่างความเค้นกับความเครียดในแบบจำลองทาง
คณิตศาสตร์ของยางคงรูปที่งานวิจัยนี้ออกแบบและ
สร้างขึ้นได้ดังนี้

$$\sigma = E_p \varepsilon [(1) - (1 - e^{-\phi \varepsilon})] + E_c \left(\varepsilon - \frac{\beta}{\alpha} \gamma \left(\frac{1}{\alpha}, \left(\frac{\varepsilon}{\beta} \right)^\alpha \right) \right) \quad (3-11)$$

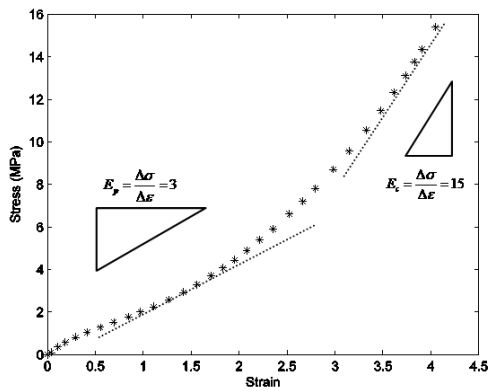
4. การหาค่าตัวแปรในแบบจำลอง

เมื่อได้ผลเฉลยของสมการแล้ว นำไปเขียนโค้ดลง
โปรแกรม Matlab และทำ Curve Fitting จากข้อมูลผล
การทดลอง เพื่อหาค่าพารามิเตอร์ต่างๆ ซึ่งจาก
สมการที่ (3-11) ค่าพารามิเตอร์ในสมการที่ต้องการ
ทั้งสิ้น 5 พารามิเตอร์ คือ E_p , E_c , ϕ , α , β

เนื่องจากสมการมีพารามิเตอร์หลายตัวซึ่งเป็นการ
ยากต่อการหาผลเฉลยของค่าพารามิเตอร์ได้เพียงชุด
เดียว ดังนั้นในงานวิจัยนี้จึงได้ประมาณค่า E_p และ
 E_c โดยให้ค่า E ทั้ง 2 เป็นค่าโมดูลัสมความยืดหยุ่นซึ่ง
หาได้จากการวัดความเค้นกับความเครียดที่ได้จากการทดลอง ดังแสดง
ในรูปที่ 6 จะเห็นว่าค่า E_p จะถูกประมาณโดยใช้ค่า
บริเวณปลายช่วงเริ่มต้น เนื่องจากเป็นช่วงที่พันธะทาง
กายภาพขาดออกจากกันจนใกล้จะหมด สำหรับ E_c
จะถูกประมาณโดยใช้ค่าบริเวณช่วงhardt เด่นนิ่ง
เนื่องจากเป็นช่วงที่พันธะเคมีเริ่มมีบทบาทสำคัญในการรับแรงดึง

ส่วนค่าพารามิเตอร์ที่เหลือใช้เครื่องมือใน
โปรแกรม MATLAB ประมาณค่าด้วยการ Curve
Fitting และใส่สมการที่ (3-11) ในช่อง General

equation โดยให้ $\alpha > 0$, $\beta > 0$ และ $\phi > 0$ ก็จะได้ค่าพารามิเตอร์ทั้งหมดได้และสามารถอธิบายพฤติกรรมการรับแรงดึงของยางคงรูปโดยโมเดลจากงานวิจัยนี้ได้อย่างถูกต้อง

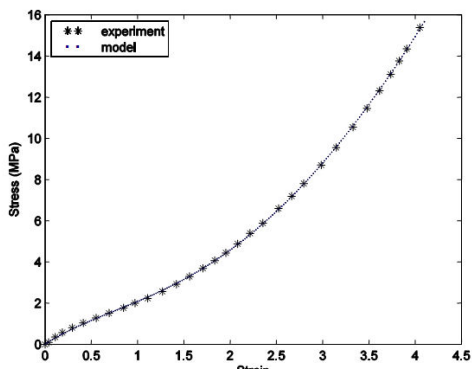


รูปที่ 6 แสดงวิธีการหาค่าโมดูลสความยืดหยุ่นที่เหมาะสมจากการทดสอบดึงยาง (Tensile test)

โดยชั้นงานทดสอบนี้สามารถเลือก Fix ค่าโมดูลสความยืดหยุ่นที่ $E_p = 3$, $E_c = 15$ และได้ค่า $\phi = 0.8041$, $\alpha = 1.267$ และ $\beta = 5.491$ ($R^2 \approx 1$) เมื่อได้ค่าพารามิเตอร์ที่เหมาะสมทั้ง 5 ตัวแล้ว นำมาพลอตกราฟเพื่อเปรียบเทียบและวิเคราะห์ผลต่อไป

5. สรุปผลและวิเคราะห์ผล

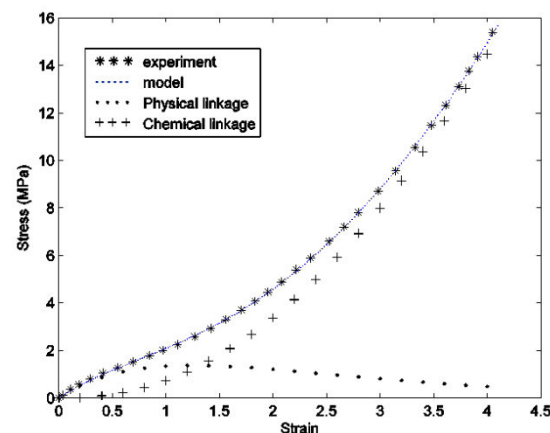
พารามิเตอร์ที่เหมาะสมที่ได้จากการประมาณค่าจากการทดลองและ Curve fitting สมการที่ (3-11) กับการทดลองคือ $E_p = 3$, $E_c = 15$, $\phi = 0.8041$, $\alpha = 1.267$ และ $\beta = 5.491$ ดังนั้นเมื่อนำพารามิเตอร์เหล่านี้มาแทนค่าในสมการที่ (3-11) เพื่อเทียบกับผลการทดลอง ดังแสดงในรูปที่ 7



รูปที่ 7 แสดงผลการเปรียบเทียบค่าความเค้นและความเครียดของผลการทดลองกับโมเดล

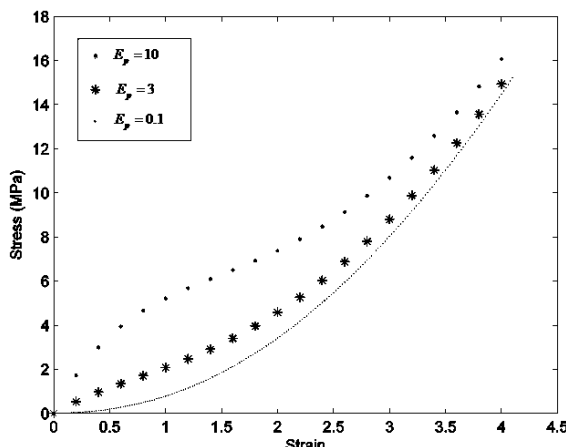
จะเห็นว่าเส้นกราฟที่ได้จากโมเดลมีค่าใกล้เคียงจากผลการทดลองมาก โดยโมเดลนี้สามารถแสดงพฤติกรรมเชิงกลของยางคงรูปขณะรับแรงดึงได้ดีมากในทุกช่วงความเครียด ซึ่งแสดงให้เห็นว่าสมมุติฐานที่ตั้งขึ้นในการสร้างแบบจำลองทางคณิตศาสตร์นี้มีความใกล้เคียงกับพฤติกรรมที่เกิดขึ้นจริงในยางขณะรับแรงดึง

เมื่อพิจารณาเปรียบเทียบความสัมพันธ์ระหว่างความเค้นกับความเครียดของพันธะทางกายภาพ, พันธะเคมี, ผลการทดลองและผลของแบบจำลองพบว่า ที่ความเครียดช่วงต้น ความเค้นในยางเกิดจาก การรับแรงของพันธะทางกายภาพทั้งหมด ความเค้นของพันธะทางกายภาพจึงมีค่าเกือบท่ากับความเค้นของโมเดลและผลการทดลอง เมื่อเข้าสู่ช่วงครากโซ่ โมเลกุลของพันธะทางกายภาพเริ่มค่อยๆ ขาด ทำให้โซ่โมเลกุลของพันธะเคมีเริ่มรับแรง ส่งผลให้ความเค้นของพันธะทางกายภาพลดลงส่วนความเค้นของพันธะเคมีเพิ่มขึ้น และเมื่อเข้าสู่ช่วงhardt เด่นนิ่งโซ่โมเลกุลของพันธะทางกายภาพขาดใกล้หมด ทำให้โซ่โมเลกุลของพันธะเคมีรับแรงมากขึ้น ส่งผลให้ความเค้นของพันธะทางกายภาพลดลงเกือบหมด ส่วนความเค้นของพันธะเคมีเพิ่มขึ้นเรื่อยๆ จนเกือบท่าความเค้นของโมเดลและผลการทดลอง ดังแสดงกราฟในรูปที่ 8



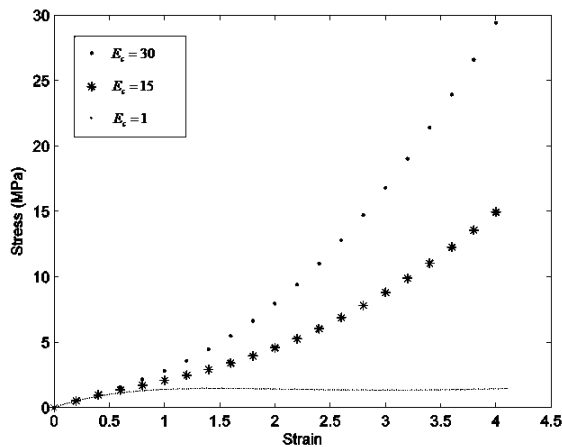
รูปที่ 8 แสดงผลที่เกิดขึ้นจากพันธะภายในของคงรูปขณะรับแรงดึง

เมื่อพิจารณาผลการทดสอบของค่า E_p กับโมเดลพบว่า ค่า E_p มีค่ามาก ช่วงความเครียดเริ่มต้นยังเกิดความเค้นสูงด้วย ดังแสดงกราฟในรูปที่ 9



รูปที่ 9 แสดงผลที่เกิดขึ้นของโมเดลจากการเลือกเปลี่ยนค่า $E_p = 10$ $E_p = 3$ $E_p = 0.1$

เมื่อพิจารณาผลกราฟของค่า E_c มีผลต่อโมเดลเฉพาะในช่วงไฮาร์ดเดนning ยิ่ง E_c มีค่ามาก ค่าความเด่นในช่วงไฮาร์ดเดนning ก็สูงตามไปด้วย ดังแสดงกราฟในรูปที่ 10

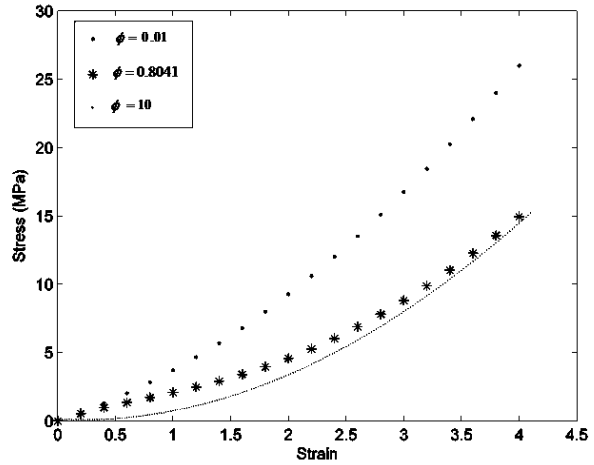


รูปที่ 10 แสดงผลที่เกิดขึ้นของโมเดลจากการเลือกเปลี่ยนค่า $E_c = 30$ $E_c = 15$ $E_c = 1$

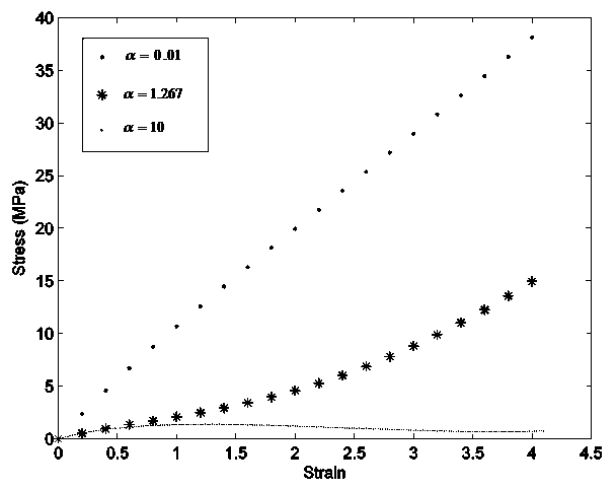
เมื่อพิจารณาผลกราฟของค่า ϕ มีผลแปรผกผันต่โมเดล ยิ่ง ϕ มีค่ามากยิ่งทำให้พันธะทางกายภาพขนาดเร็วมากขึ้น ส่งผลให้ค่าโมดูลัสของพันธะทางกายภาพลดลงเร็วขึ้น ทำให้ความเด่นของโมเดลในช่วงต้นนี้มีค่าลดลงด้วย ดังแสดงกราฟในรูปที่ 11

ส่วนค่า α และค่า β มีผลแปรผกผันต่อการรับแรงของพันธะเคมี คือ ยิ่งค่า α และค่า β มีค่ามากยิ่งทำให้การรับแรงของพันธะเคมีช้าลงส่งผลให้ค่าความเด่นของพันธะเคมีมีค่าน้อยลง จึงส่งผลให้โมเดล

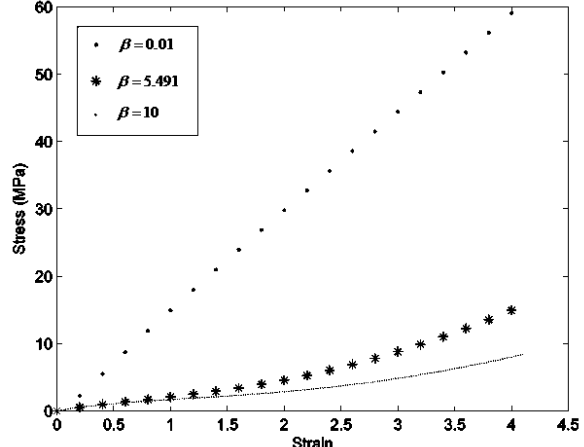
โดยเฉพาะช่วงไฮาร์ดเดนning มีค่าความเด่นน้อยลงตามไปด้วย ดังแสดงกราฟในรูปที่ 12 และ 13



รูปที่ 11 แสดงผลที่เกิดขึ้นของโมเดลจากการเลือกเปลี่ยนค่า $\phi = 0.01$ $\phi = 0.8041$ $\phi = 10$



รูปที่ 12 แสดงผลที่เกิดขึ้นต่โมเดลจากการเลือกเปลี่ยนค่า $\alpha = 0.01$ $\alpha = 1.267$ $\alpha = 10$



รูปที่ 13 แสดงผลที่เกิดขึ้นของโมเดลจากการเลือกเปลี่ยนค่า $\beta = 0.01$ $\beta = 5.491$ $\beta = 10$

จากการทดลองนี้ จะเห็นว่าโมเดลที่สร้างขึ้นนี้ สามารถอธิบายพฤติกรรมการรับภาระแรงและการเปลี่ยนแปลงโครงสร้างภายในของยางคงรูปขณะรับแรงดึงได้อย่างสอดคล้องกัน และค่าพารามิเตอร์ในสมการของโมเดลนี้ ส่งผลโดยตรงต่อพฤติกรรมขณะรับแรงดึงของโมเดล ในการผลิตยางคงรูปให้ได้คุณสมบัติที่เหมาะสมต่อการใช้งาน ค่าพารามิเตอร์เหล่านี้สามารถสร้างเป็นความสัมพันธ์กับส่วนผสมของสารเคมีและนำไปสู่ความสามารถในการคาดคะเนความสัมพันธ์ระหว่างปริมาณของส่วนผสมของสารเคมีในยางคงรูปกับคุณสมบัติเชิงกลของยางได้ จะสามารถคาดคะเนปริมาณที่ควรเติมได้อย่างเหมาะสมได้ต่อไป

6. กิตติกรรมประกาศ

ผู้เขียนขอขอบพระคุณ ดร.รัชดา โสภาคะยัง อาจารย์ที่ปรึกษาที่ให้คำแนะนำ คณาจารย์และเจ้าหน้าที่ภาควิชาวิศวกรรมเครื่องกลทุกท่าน ขอขอบพระคุณบิดา márada ของข้าพเจ้า ที่ให้ได้มีข้าพเจ้าในทุกวันนี้ และขอขอบพระคุณทุกๆ ท่านที่เคยช่วยเหลือที่มิอาจเอียนำมาได้ทั้งหมดในที่นี้

7. เอกสารอ้างอิง

- [1] Goktepe, S. G., & Miehe, C. (2005). *A micro-macro approach to rubber-like materials. Part III: The micro-sphere model of anisotropic Mullins-type damage*, Journal of the Mechanics and Physics of Solids 53.
- [2] Sopakyang, R., Vita. (2011). *A mathematical model for creep, relaxation and strain stiffening in parallel-fibered collagenous tissues*, Medical Engineering & Physics 33 (2011) 1056– 1063
- [3] Sopakyang, R., Vita, R. D., Kwansa, A., & Freeman, J. W. (2011). *Elastic and viscoelastic properties of a type I collagen fiber*, Journal of Theoretical Biology 293 (2012) 197–205.

- [4] Tomita, Y., Lu, W., Naito, M., & Furutani, Y. (2006). *Numerical evaluation of micro- to macroscopic mechanical behavior of carbon-black-filled rubber*, International Journal of Mechanical Sciences 48.
- [5] จากรุธรรม สังข์ปาน. การวิเคราะห์สมบัติวิสโโคไฮเบอร์วิลลสติกของยางคงรูปที่อุณหภูมิแตกต่างกัน. วิทยานิพนธ์วิศวกรรมศาสตรมหาบัณฑิต สาขาวิชา วิศวกรรมเครื่องกล ภาควิชา วิศวกรรมเครื่องกล บัณฑิตวิทยาลัย สถาบันเทคโนโลยีพระจอมเกล้าพระนครเหนือ, 2550.
- [6] รพีภัทร์ วีระชาติพิทักษ์ชัน. การวิเคราะห์ พฤติกรรมทางกลของวัสดุไฮเบอร์วิสโโควิลลสติกโดย วิธีการไฟไนต์เอลิเมนต์. วิทยานิพนธ์วิศวกรรมศาสตรมหาบัณฑิต สาขาวิชา วิศวกรรมเครื่องกล บัณฑิตวิทยาลัย สถาบันเทคโนโลยีพระจอมเกล้าพระนครเหนือ, 2549.